

Boletín
de Alerta
Climático



BAC

423

Diciembre 2025

ERFEN

Comité Científico Regional
para el Estudio del
Fenómeno El Niño

CPPS

Comisión Permanente
del Pacífico Sur

IDEAM-DIMAR/CCCP

Colombia

INOCAR/ INAMHI

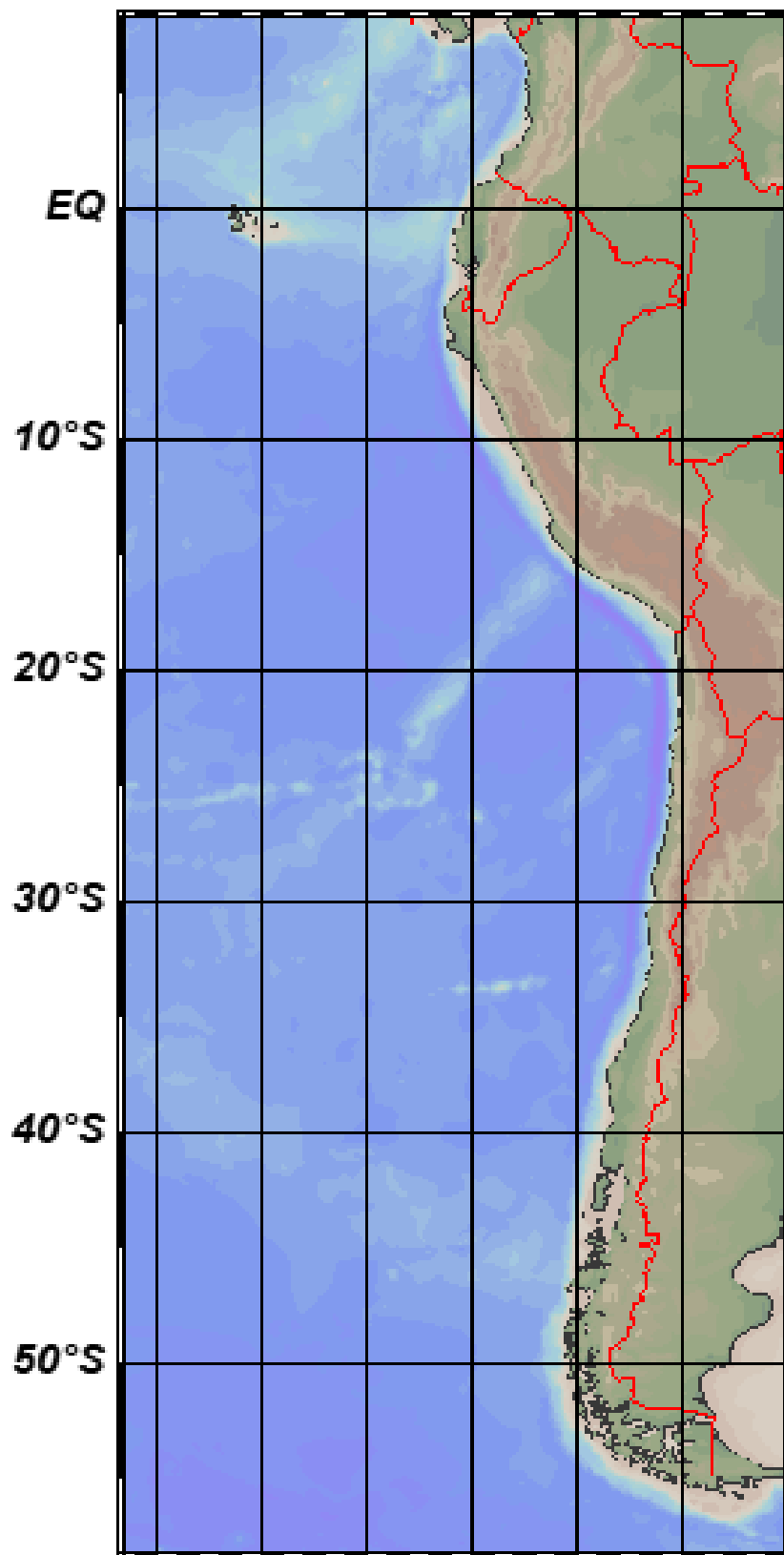
Ecuador

DIHIDRONAV

Perú

SHOA-DMC

Chile



15 enero 2026

Contenido

RESUMEN	3
ABSTRACT.....	4
I. CONDICIONES OCEANOGRÁFICAS Y ATMOSFÉRICAS	5
1.1. PACÍFICO TROPICAL	5
1.1.1. PRESIÓN ATMOSFÉRICA.....	5
1.1.2. VIENTOS.....	5
1.1.3. PRECIPITACIÓN	6
1.1.4. TEMPERATURA SUPERFICIAL DEL MAR	6
1.2. PACÍFICO ECUATORIAL.....	7
1.2.1. ESFUERZO DEL VIENTO – ISOTERMA DE 20°C – NIVEL DEL MAR – TEMPERATURA SUPERFICIAL DEL MAR.....	7
1.2.2. TEMPERATURA SUPERFICIAL DEL MAR EN REGIONES NIÑO	7
1.2.3. TEMPERATURA SUB SUPERFICIAL.....	8
1.2.4. ÍNDICES	9
1.3. REGIONAL	10
1.3.1. VIENTOS.....	10
1.3.2. PRECIPITACIÓN	11
1.3.3. TEMPERATURA DEL MAR.....	12
1.3.4. SALINIDAD DEL MAR.....	16
1.3.5. NIVEL DEL MAR	18
1.3.6. TEMPERATURA DEL AIRE	19
II. MODELOS NUMÉRICOS DE PRONÓSTICO CLIMÁTICO.....	19
III. PERSPECTIVAS CLIMÁTICAS	22
3.1. Colombia.....	22
3.2. Ecuador.....	22
3.3. Perú.....	22
3.4. Chile	23

RESUMEN

En el presente boletín se exponen las condiciones oceanográficas y meteorológicas promedio de diciembre 2025, en el océano Pacífico, entre 10°N y 40°S, que incluye el mar frente a las costas de Colombia, Ecuador, Perú y Chile. La información presentada hace énfasis en la relación de la variabilidad océano-atmósfera con la evolución de condiciones frías asociado a la fase fría de EL Niño-Oscilación del Sur (ENOS), para los siguientes tres meses.

La información oceanográfica y atmosférica observada configuran un escenario neutro, a pesar de registrar temperatura del mar con anomalías positivas y negativas. La configuración de los vientos en el Pacífico ecuatorial, los cambios térmicos a nivel sub superficial y del nivel del mar muestran la frecuencia de ondas kelvin frías y cálidas que se propagan de oeste a este. Asimismo, en el Pacífico Sur, el campo de presión, vientos, temperaturas, nivel del mar, entre otros, muestran un escenario variable, pero dentro de las condiciones neutras.

En general, la información favorece a prever que este escenario neutro continuaría en los dos siguientes meses.

ABSTRACT

This bulletin presents the average oceanographic and meteorological conditions for December 2025 in the Pacific Ocean, between 10°N and 40°S, encompassing the waters off the coasts of Colombia, Ecuador, Peru, and Chile. The information emphasizes the relationship between ocean–atmosphere variability and the evolution of cold conditions associated with the cold phase of the El Niño–Southern Oscillation (ENSO) over the following three months.

The observed oceanographic and atmospheric information depicts a neutral scenario, despite the presence of both positive and negative sea surface temperature anomalies. The wind configuration over the equatorial Pacific, subsurface thermal changes, and sea level variations indicate the occurrence of cold and warm Kelvin waves propagating from west to east. Likewise, in the South Pacific, the pressure field, winds, temperatures, sea level, among other variables, show a variable scenario that nevertheless remains within neutral conditions.

Overall, the information supports the expectation that this neutral scenario will persist over the next two months.

I. CONDICIONES OCEANOGRÁFICAS Y ATMOSFÉRICAS

1.1. PACÍFICO TROPICAL

1.1.1. PRESIÓN ATMOSFÉRICA

El Anticiclón del Pacífico Sur (APS) presentó un núcleo intensificado (1022 hPa), configurado zonalmente y cercano a continente, centrado en 100°W - 35°S (Figura 1a). Anomalías positivas de presión de hasta +3 hPa se identificaron frente de la costa sur de Sudamérica; en tanto que, negativas de hasta -2 hPa frente de la costa norte y centro de Sudamérica (Figura 1b).

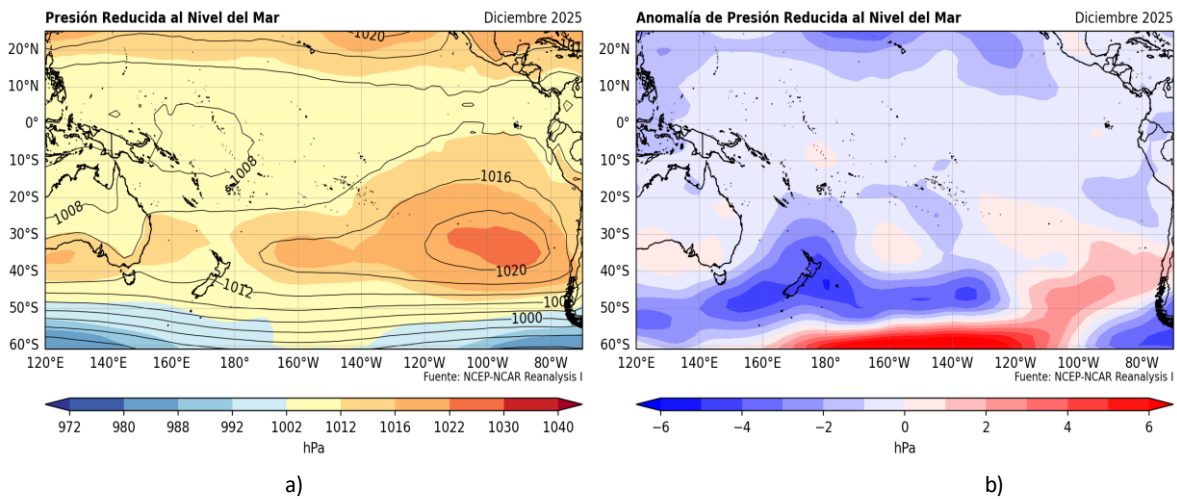


Figura 1. Presión atmosférica a nivel del mar a) Promedio de diciembre (shape) y climatología (Líneas negras), b) Anomalia de diciembre 2025, climatología 1991-2020. Fuente: NCEP – NCAR Reanalysis.

1.1.2. VIENTOS

Los vientos predominaron del este en el Pacífico ecuatorial occidental y central, con anomalías débiles, menores de 2 m/s; en la región oriental confluyeron vientos alisios de norte y sur, con anomalías de hasta 3 m/s, asociadas al fortalecimiento del Jet del Chocó y el Jet de Tehuantepec. Alrededor del núcleo del APS, la circulación anticiclónica característica presentó flujo de vientos fortalecidos con anomalías de hasta 3 m/s, generando vientos del sureste en el norte y centro de Sudamérica, y vientos del oeste en el sur (Figura 2).

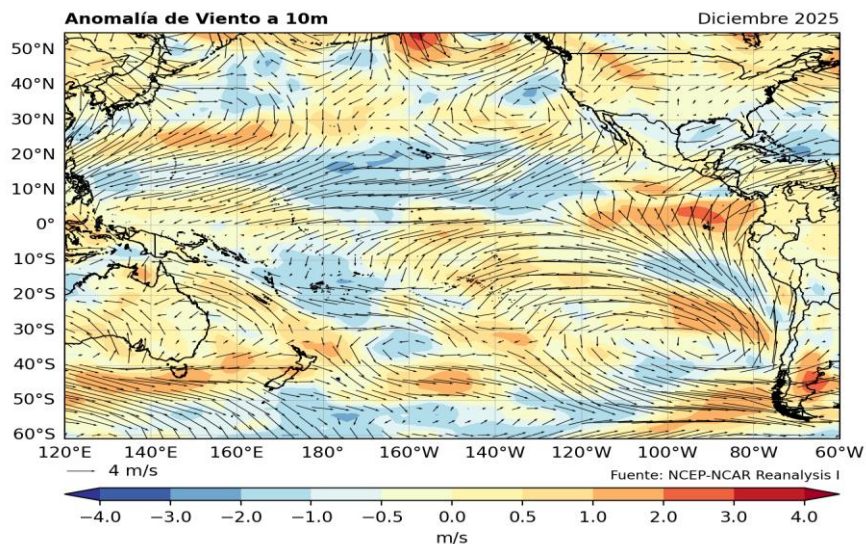


Figura 2. Dirección del viento (flechas) y anomalía de la velocidad (colores), diciembre 2025. Climatología 1991-2020. Fuente: NCEP–NCAR Reanalysis.

1.1.3. PRECIPITACIÓN

La Zona de Convergencia Intertropical (ZCIT), de acuerdo al análisis de precipitación, se presentó debilitada sobre el océano Pacífico, posicionada entre 07°N y 15°N y desplazada hacia el norte respecto a su climatología; esto favoreció fuertes anomalías positivas de precipitación en Centroamérica y anomalías negativas en Ecuador y parte de Colombia. Mientras tanto, se observó dos bandas de la Zona de Convergencia del Pacífico Sur (ZCPS), donde la banda posicionada en la región extratropical presentó anomalías de precipitación acumulada mayor a 500 mm/mes (Figura 3a y 3b).

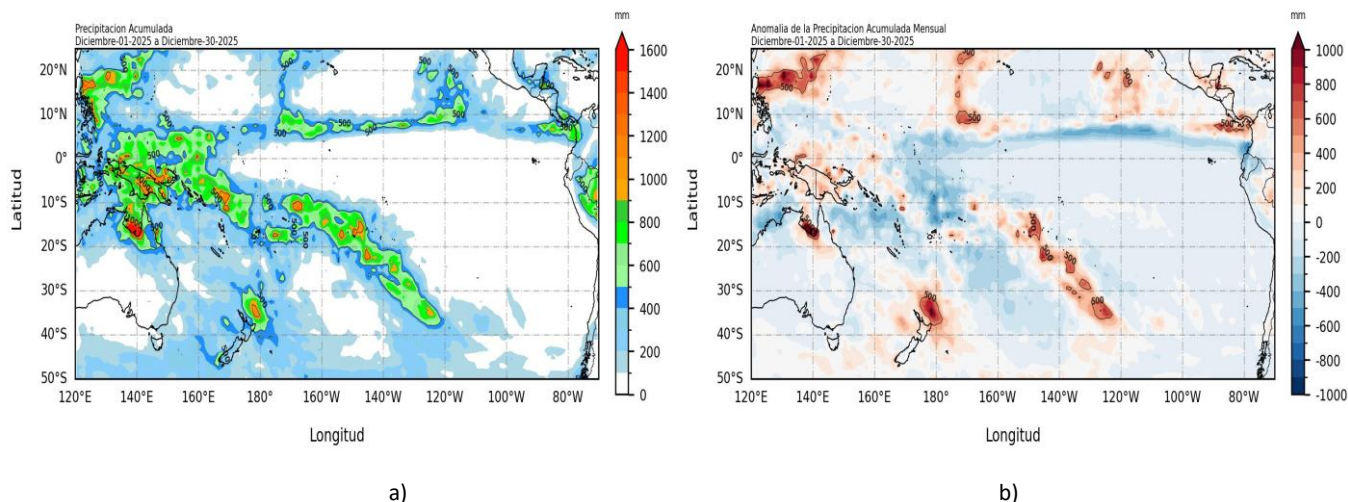


Figura 3. a) Precipitación acumulada y b) anomalía de la precipitación acumulada de diciembre 2025. Fuente: GPM_IMERG.

1.1.4. TEMPERATURA SUPERFICIAL DEL MAR

La temperatura aumentó en la región oriental, en el orden de 1°C en promedio, respecto al mes anterior (Figura 4a). Los núcleos de anomalías negativas se mantienen entre -1°C y -2°C en el Pacífico ecuatorial central y oriental. Frente de la costa de Sudamérica, las mayores anomalías negativas (-1°C) se ubicaron frente de Ecuador y norte de Perú (Figura 4b).

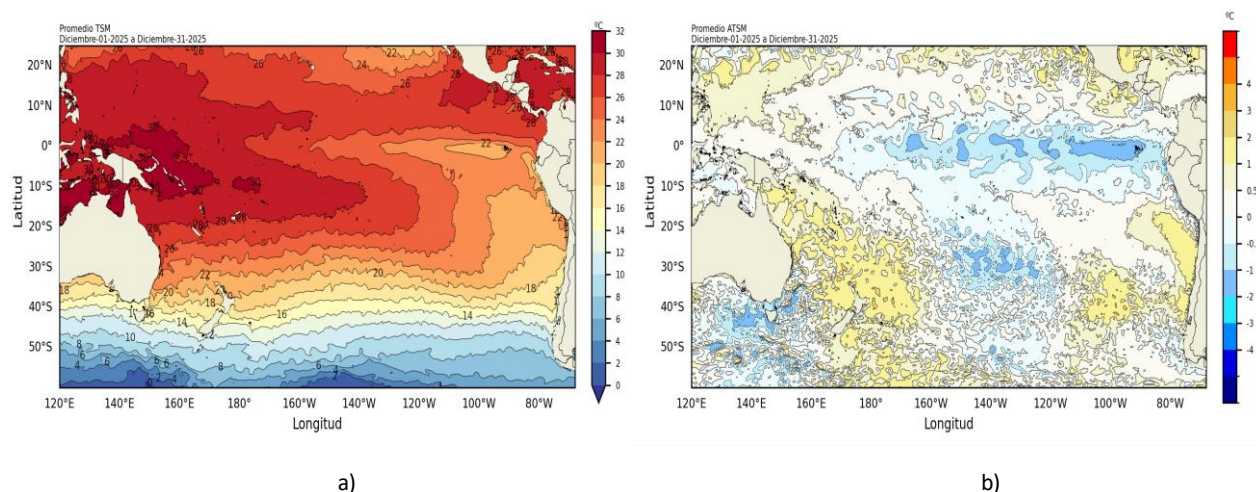


Figura 4. a) Temperatura superficial del mar y b) Anomalía de temperatura superficial del mar en el Pacífico (30°N – 60°S), diciembre 2025. Climatología 1991-2020. Fuente: OSTIA.

1.2. PACÍFICO ECUATORIAL

1.2.1. ESFUERZO DEL VIENTO – ISOTERMA DE 20°C – NIVEL DEL MAR – TEMPERATURA SUPERFICIAL DEL MAR

El esfuerzo de viento dominó con anomalías negativas (del este) en el Pacífico ecuatorial occidental y central favoreciendo la generación de ondas Kelvin frías (Figura 5a). En la columna de agua, la isoterma de 20°C se ubicó más profunda de lo normal al oeste de los 140°W; en tanto que, menos profunda en la región oriental, esto asociado a los vientos del este (Figura 5b). El nivel del mar dominó con anomalías positivas que se proyectaron hacia el este, en las regiones occidental y central (Figura 5c); mientras que las anomalías positivas de la temperatura superficial del mar se distribuyeron sólo en la región occidental (Figura 5d).

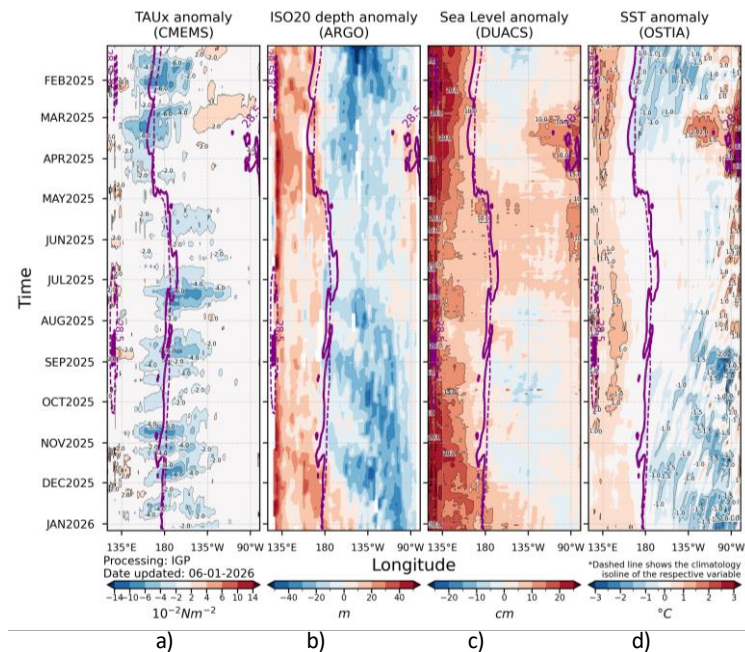


Figura 5. a) Esfuerzo del viento zonal y anomalía de b) profundidad de isoterma de 20 °C, c) NM, y d) TSM. Promedio 02°N-02°S entre enero 2025 y diciembre 2025. Fuente: a) ASCAT/ b) ARGO/ c) DUACS/ d) OSTIA. Gráfica: IGP.

1.2.2. TEMPERATURA SUPERFICIAL DEL MAR EN REGIONES NIÑO

En Niño 3 y Niño 3.4 las anomalías semanales de la TSM continuaron negativas, con mayor magnitud respecto al mes anterior; sin embargo, en las dos últimas semanas de diciembre muestran una tendencia descendente.

Por otro lado, en Niño 4 las anomalías negativas disminuyeron en magnitud respecto a noviembre, manteniendo una tendencia descendente (Figura 6).

La anomalía mensual en Niño 3.4 para diciembre 2025 es de -0.66 °C, definiendo el ONI de noviembre 2025 con el valor de -0.6, dentro del umbral de condición fría (Tabla 1).

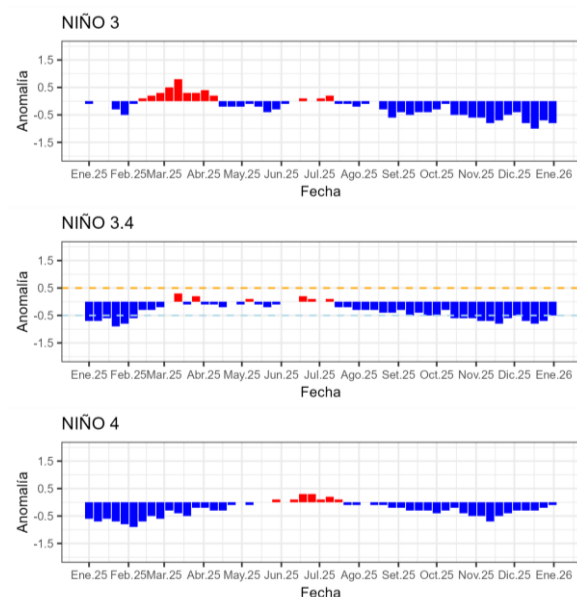


Figura 6. Anomalías semanales de la TSM por regiones Niño. Fuente OISST.

Tabla N° 1. Temperatura superficial del mar y su anomalía mensual e índice oceánico El Niño (ONI). Fuente ERSSTv5.

Niño 3.4		ONI
Mes	TSM-ATSM Mensual (ERSSTv5)	
Jun 25	27.66 -0.07	-0.0
Jul 25	27.15 -0.14	-0.1
Ago 25	26.49 -0.36	-0.3
Sep 25	26.25 -0.47	-0.4
Oct 25	26.22 -0.50	-0.5
Nov 25	26.00 -0.70	-0.6
Dic 25	25.94 -0.66	-

1.2.3. TEMPERATURA SUB SUPERFICIAL

En la región occidental, un núcleo de anomalías positivas (3°C) se viene propagando hacia el este, alcanzando los 160°W en la última semana de diciembre de 2025. Por otro lado, al este de 160°W un núcleo de anomalías negativas de forma alargada se viene propagando hacia el este, dentro de los primeros 150 m de profundidad (Figura 7).

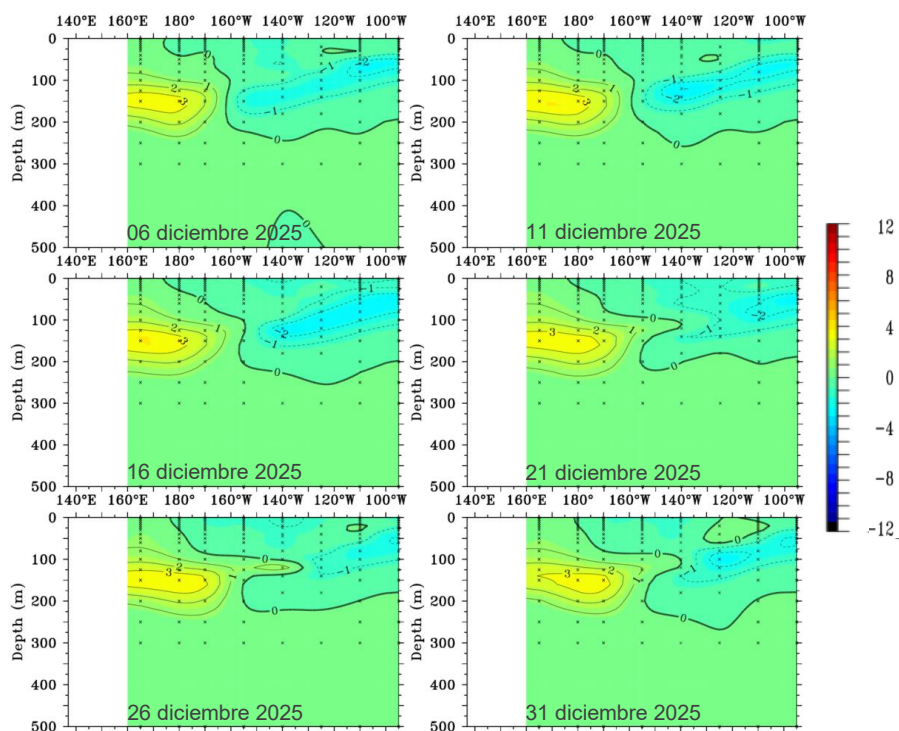


Figura 7. Anomalía de temperatura sub superficial (°C) en el Pacífico ecuatorial (02° N - 02° S), promedio de cinco días, finalizando los días 06, 11, 16, 21, 26 y 31 de diciembre 2025. Fuente: TAO/TRITON, PMEL/NOAA.

1.2.4. ÍNDICES

El ONI e ICEN muestran un enfriamiento progresivo en el Pacífico ecuatorial central y en la región Niño 1+2, sin desarrollarse La Niña y La Niña Costera, respectivamente (Figura 8a, 8b). El SOI con un valor muy cercano de cero para diciembre sugiere un sistema de presión promedio (Figura 8c). En cuanto a la convección tropical, el OLR muestra anomalías positivas, indicando una convección inhibida sobre el Pacífico central, consistente con un enfriamiento (figura 8d). El PDO permaneció negativo, aunque con tendencia a debilitarse, manteniendo un trasfondo favorable para las condiciones frías a nivel tropical (Figura 8e). Finalmente, el contenido de calor sub superficial (180°W – 100°W y entre 0 y 300 m) mostró una recuperación, indicando que la termoclina retorna a su profundidad normal (Figura 8f). En conjunto, los índices sugieren condiciones frías en procesos de debilitamiento.

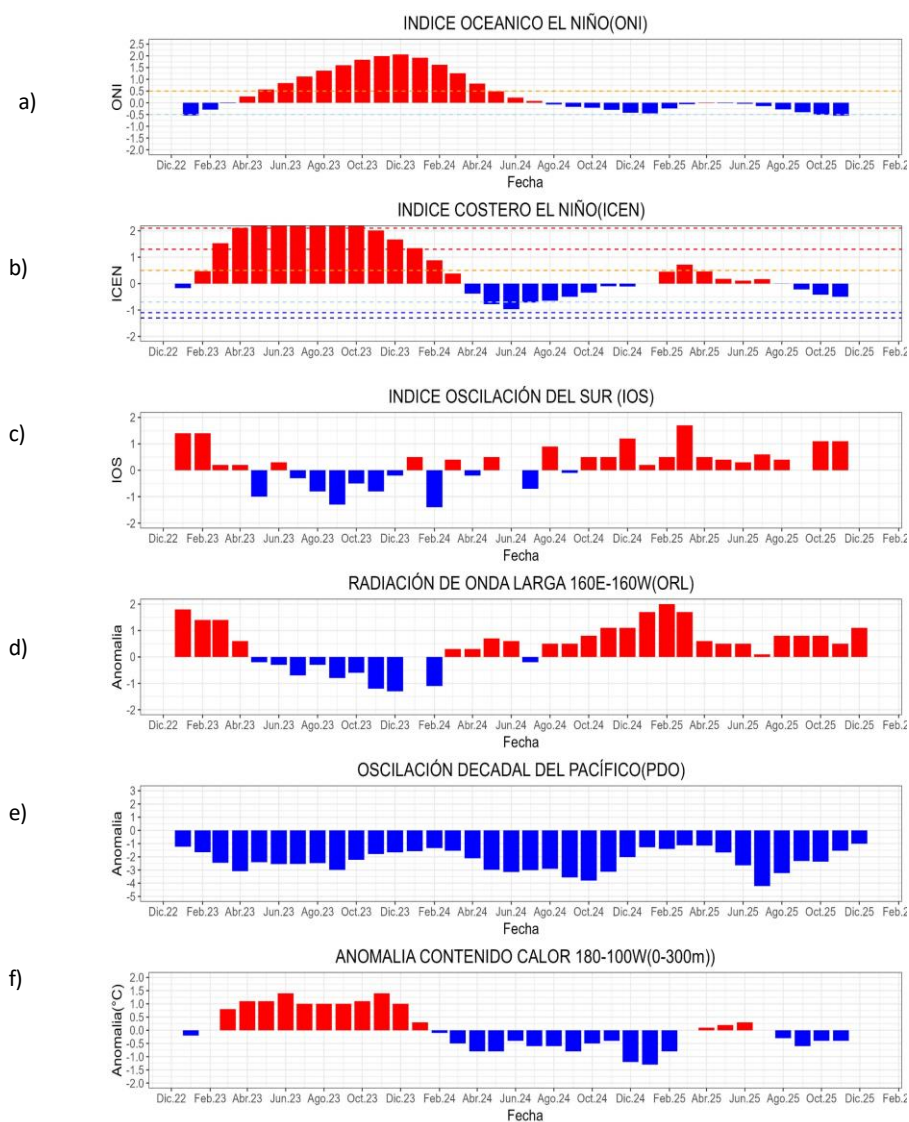


Figura 8. Índices climáticos a) ONI, b) MEI, c) IOS, d) OLR, e) PDO y f) anomalía del contenido de calor. Climatología 1991-2020. Fuente: NOAA, NCEI.

1.3.2. PRECIPITACIÓN

En Colombia, las estaciones de Buenaventura y Bahía Solano superaron su climatología de precipitación acumulada mensual, alcanzando hasta más de 1000 mm (Figura 10a). En Chile, al igual que noviembre, todas las estaciones presentaron déficit de precipitación, a excepción de Punta Arenas y J. Fernández (Figura 10b). En Perú predominaron anomalías negativas de precipitación en la mayoría de estaciones en la costa y la cordillera (Figura 10c).

En cuanto a la variación espacial en las estaciones costeras de la región, se observó ausencia de precipitaciones para el mes de diciembre, a excepción la zona de Ecuador, donde se registró acumulados entre 50 y 150 mm/mes (Figura 10d).

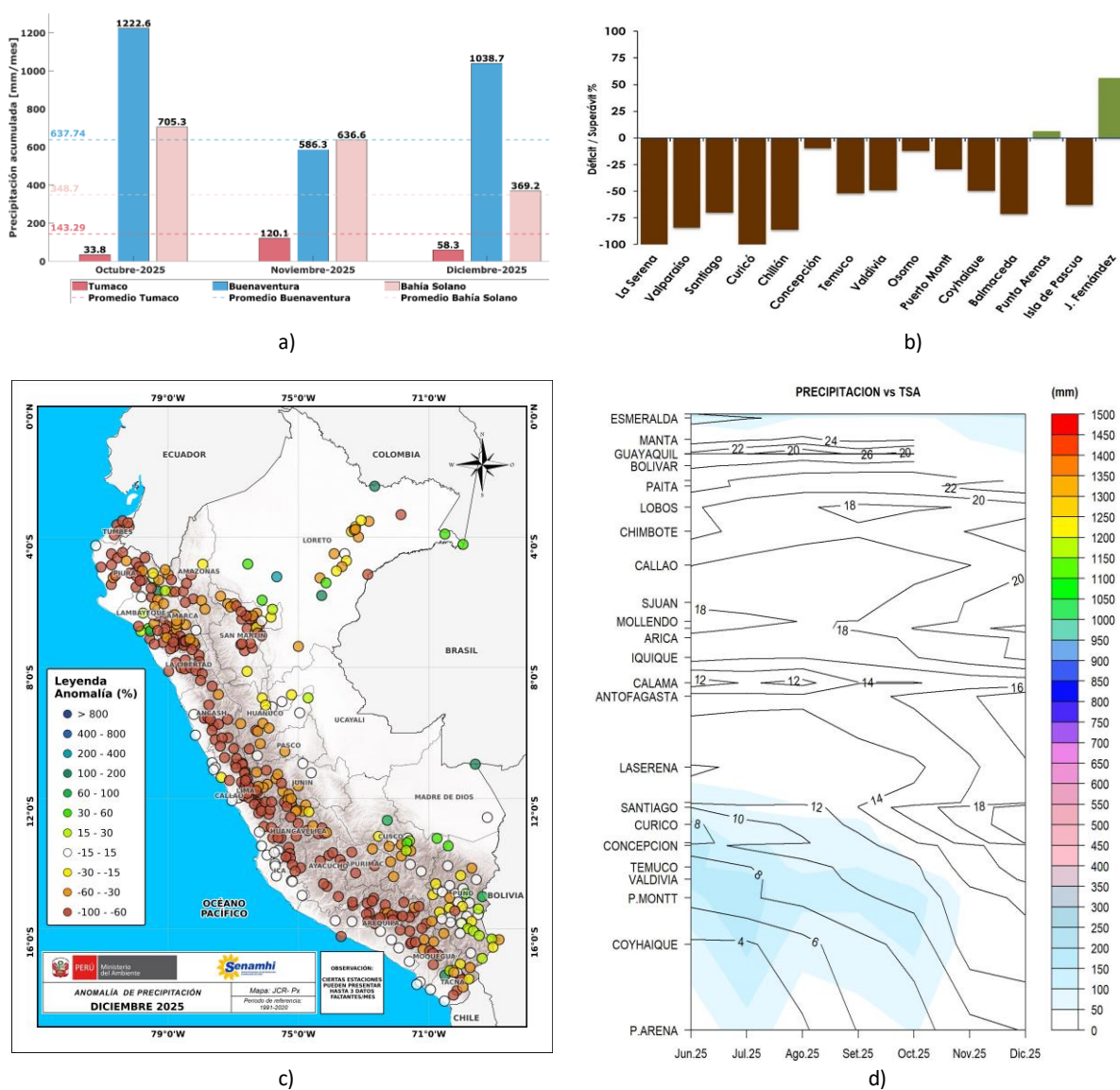


Figura 10. a) Precipitación acumulada de diciembre en Colombia, b) Anomalía de precipitación acumulada de diciembre en Chile, c) Mapa espacial de anomalía de la precipitación promedio de diciembre en Perú y d) Hovmöller de la precipitación acumulada (colores) y temperatura del aire (contornos) con datos de estaciones costeras de la región, periodo junio 2025 a diciembre 2025. Fuente CCCP-Colombia, INOCAR-Ecuador, SENAMHI-Perú y DIHIDRONAV-Perú, DMC-Chile.

1.3.3. TEMPERATURA DEL MAR

En gran parte de la región la temperatura aumentó hasta 2°C, en promedio, respecto al mes anterior, lo que favoreció a la disipación del enfriamiento frente de la costa de Ecuador y norte de Perú; y al ligero calentamiento en el centro-sur del mar de Chile. (Figura 11b).

En la región Niño 1+2, las anomalías negativas continuaron, pero en promedio menor respecto a noviembre (Figura 12).

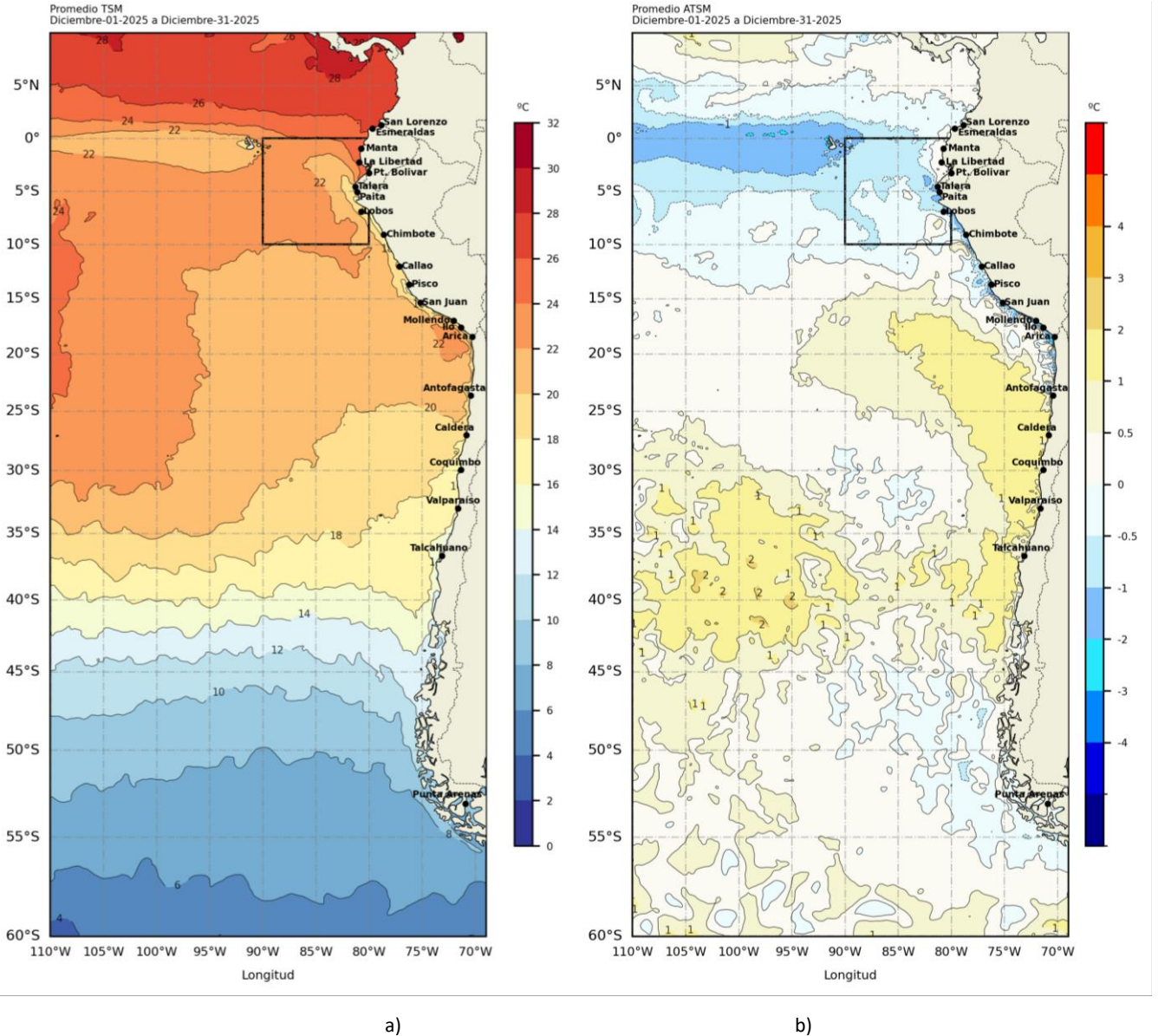


Figura 11. a) Mapa de TSM en la región de diciembre de 2025, b) Mapa de la ATSM en la región de diciembre 2025 frente a la costa oeste de Sudamérica (Climatología 2007-2020). Fuente: OSTIA.

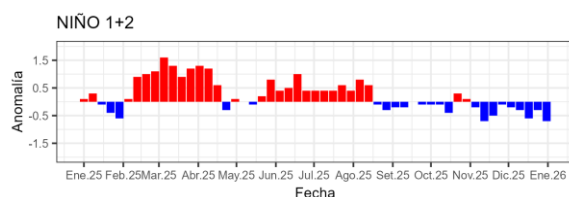


Figura 12. Anomalías semanales en la región Niño 1+2, de los últimos ocho meses. Fuente OISST.

En el litoral, la temperatura mensual fue mayor a 26°C al norte de Puerto Bolívar (Ecuador), manifestando un escenario normal, en promedio. Al sur de Paíta (Perú) la temperatura aumentó; sin embargo, se mantiene con anomalías negativas entre Paíta y Arica (Chile). En el centro y sur de Chile la temperatura manifestó un escenario normal, con anomalías máximas de 0.5 °C (Figura 13a y 13b).

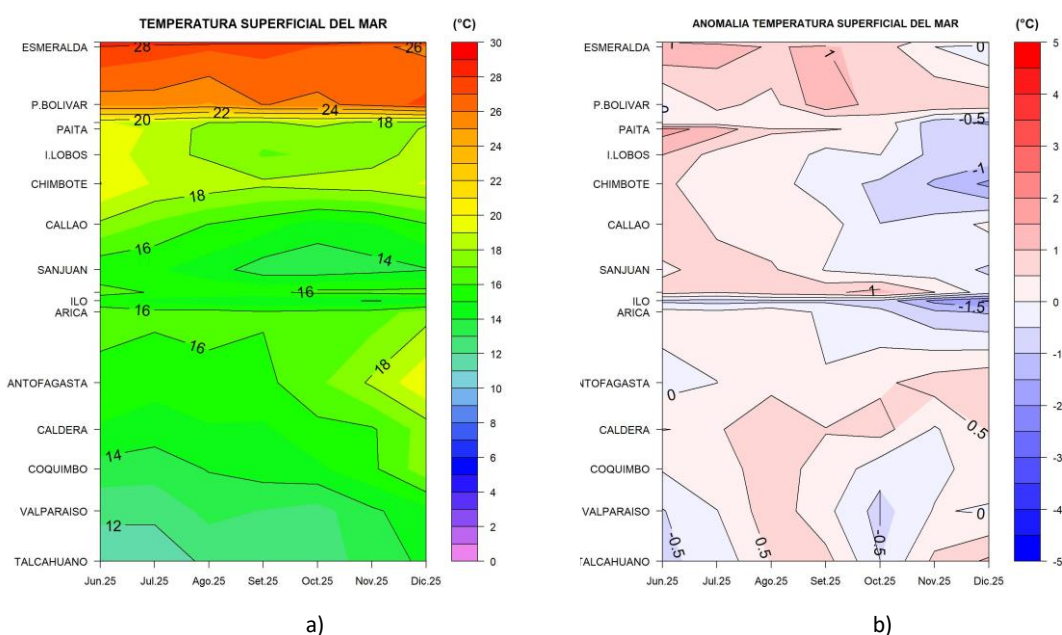


Figura 13. a) Hovmöller de la TSM de las estaciones en el litoral de Ecuador, Perú y Chile b). Hovmöller de la ATSM de las estaciones en el litoral de Ecuador, Perú y Chile (Climatología 1991-2020). Fuente: INOCAR-Ecuador, DHN-Perú, SHOA-Chile.

En la capa sub superficial, al noreste del archipiélago de las Galápagos la capa de mezcla y la termoclina estuvieron bien definidos, evidenció un escenario frío hasta 50 m; en tanto que, frente de la costa sur de Ecuador y norte de Perú, la termoclina se elevó ligeramente, generando anomalías negativas sobre los 100 m de profundidad. Entre 10°S y 25°S se presentó un calentamiento superficial que desarrolló temperaturas sobre 20°C, lo que favoreció a la atenuación de las anomalías negativas e inclusive desarrollando algunos núcleos de anomalías positivas (3°C). A mayor latitud, alrededor de los 36°S, se disiparon los núcleos térmicos positivos e incluso se desarrollaron núcleos negativos de hasta -1°C sobre los 30 m de profundidad (Figura 14 y Figura 15).

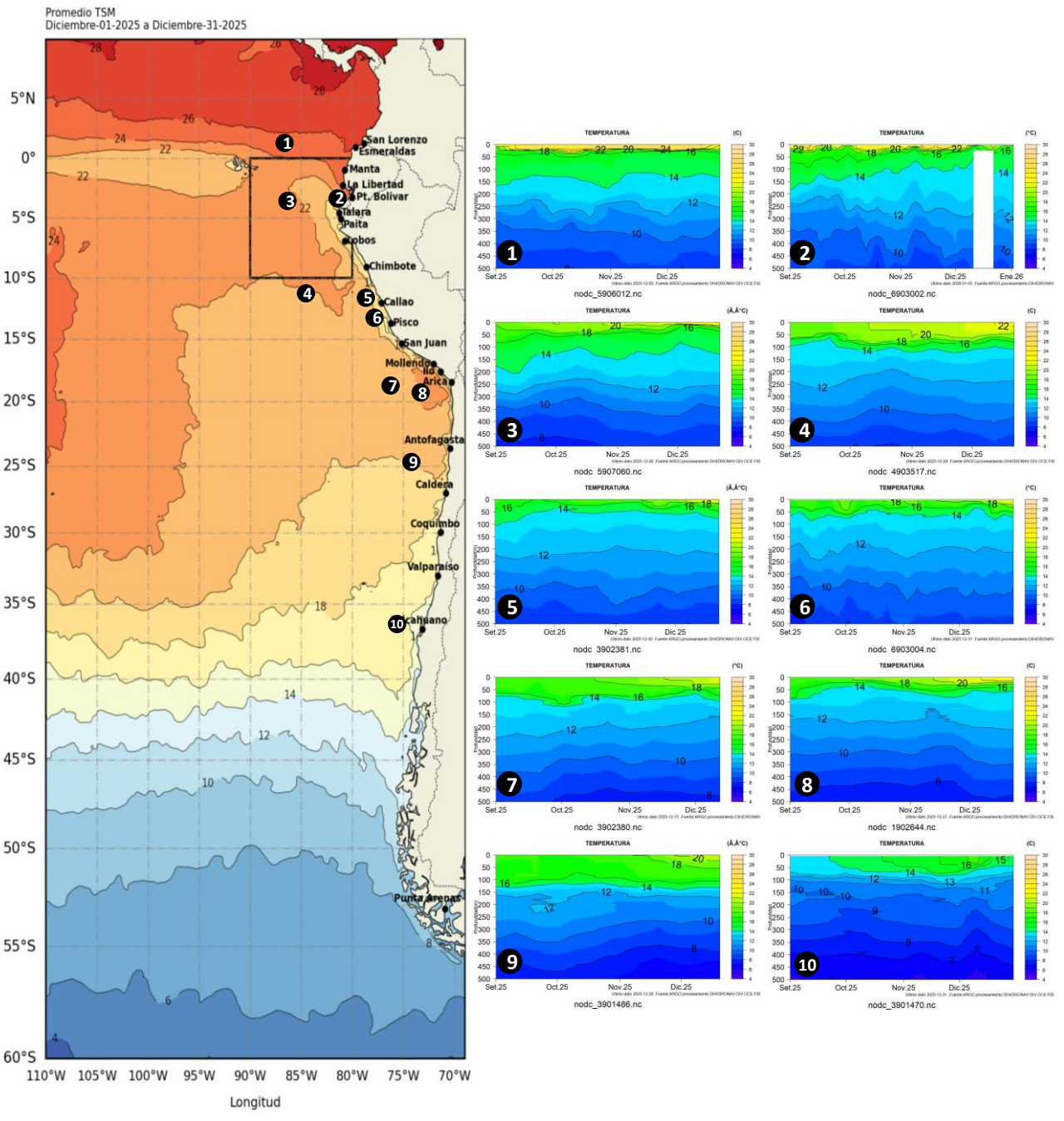


Figura 14. Temperatura sub superficial frente a la costa oeste de Sudamérica, de septiembre 2025 a diciembre 2025. Fuente: Boyas ARGO.

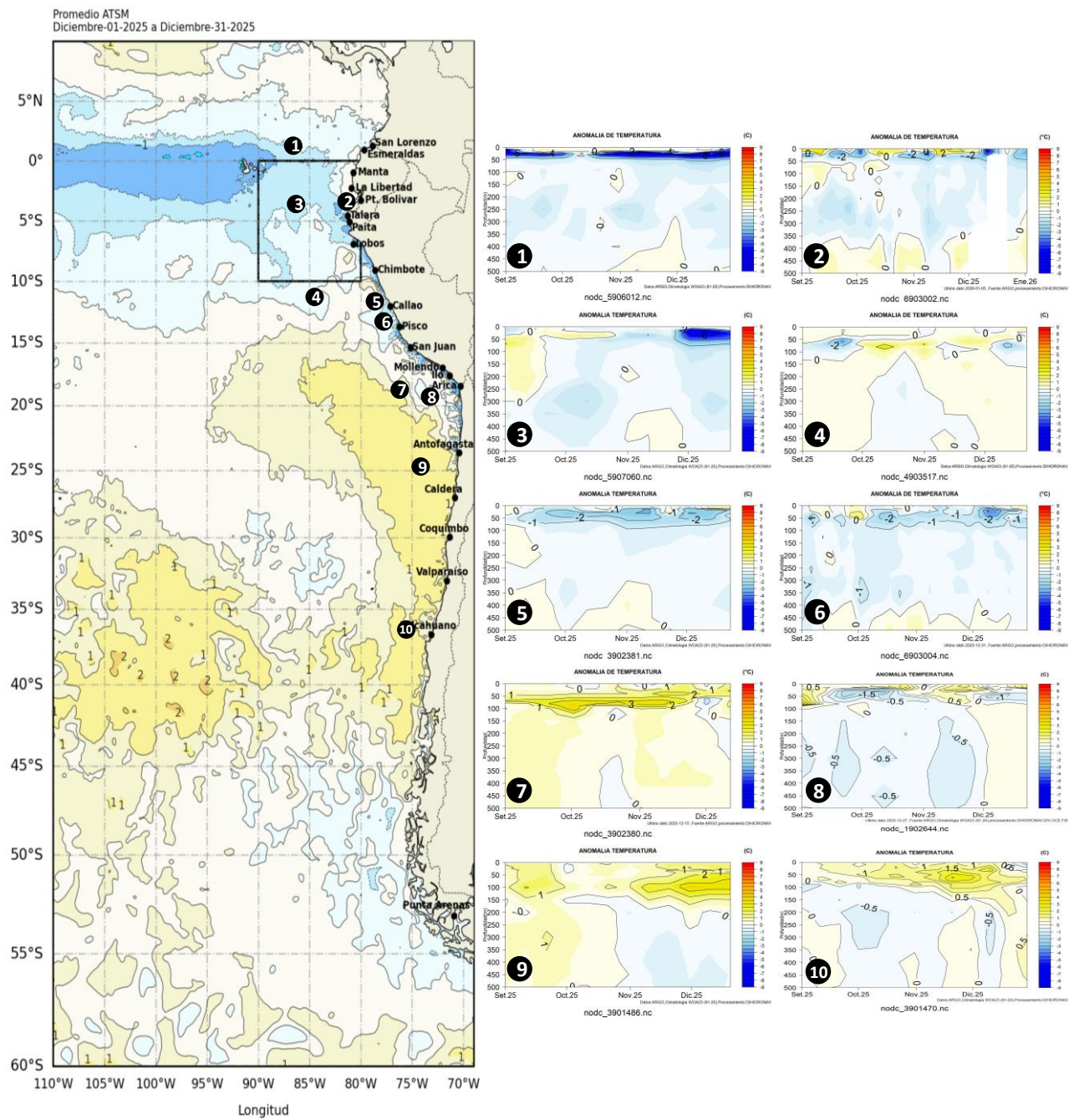


Figura 15. Anomalías de temperatura sub superficial frente a la costa oeste de Sudamérica, de septiembre 2025 a diciembre 2025. Climatología 1991-2020. Fuente: Boyas ARGO.

Durante diciembre, la temperatura superficial del mar presentó valores entre 24°C y 26°C; en Esmeraldas y Manta se presentó una marcada estratificación; mientras que, en La Libertad predominaron procesos de mezcla. La capa de mezcla varió entre 4 m y 24 m, y la termoclina se caracterizó por un gradiente entre 26°C y 15°C. La profundidad de la isoterma de 20°C (Z20) se ubicó entre 6.5 m y 29.5 m, con menores profundidades en La Libertad y mayores en Esmeraldas. Por debajo de 35 m, la temperatura presentó una capa profunda homogénea (Figura 16a).

Con respecto a la salinidad superficial, se registraron valores de 31.2 ups en Esmeraldas, 31.5 ups en Manta y 32.3 ups en La Libertad (Figura 16b). El aumento de la salinidad de norte a sur estaría asociada a un menor aporte de aguas tropicales provenientes de la cuenca de Panamá, lo que coincide con la disminución de la temperatura en las estaciones ubicadas hacia el sur. Aun cuando la profundidad de la capa de mezcla y la isoterma son aproximadamente iguales en cada una de las estaciones, la diferencia del nivel superficial desaparece bajo los 35 m; donde se tiene aproximadamente el mismo tipo de masa de agua con temperaturas y salinidades similares.

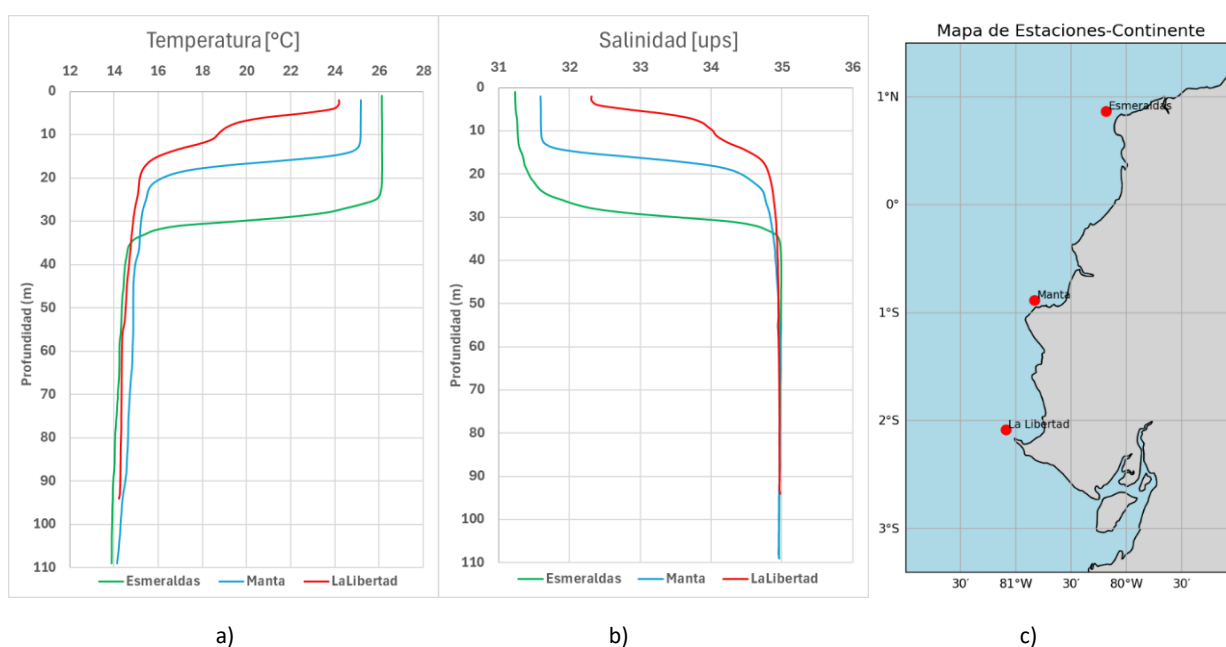


Figura 16. Perfiles promedio a 10 millas de la costa de Ecuador de a) Temperatura sub superficial del mar y b) salinidad su superficial del mar hasta los 100 m de profundidad, en las c) estaciones de Esmeraldas, Manta, La Libertad y Puerto Bolívar, diciembre 2025. Fuente y elaboración: INOCAR.

1.3.4. SALINIDAD DEL MAR

La salinidad fue menor de 33.8 ups en los primeros 40 m de profundidad frente de la costa al norte de los 04° S, asociado a ATS; mientras que, cerca de costa al norte de los 06° S y de forma oceánica al norte de los 05° S, se desarrollaron valores menores a 34.8 ups sobre los 20 m de profundidad, lo que se relaciona a la presencia de las AES. Por otro lado, frente a la costa centro de Perú, se presencian salinidades entre 34.9 ups y 35.1 ups alrededor de las 50 millas, correspondiendo a la presencia de aguas de mezcla entre las ASS y ACF y con una profundidad de hasta 60 m; en tanto que, de forma más oceánica las salinidades superiores a 35.1 ups (relacionadas a las ASS) tienen un alcance vertical de 70 m (Figura 17).

Frente a la costa sur de Perú y norte de Chile, se presenta un valor halino entre 34.9 ups y 35.2 ups, lo que se relaciona con la presencia de las ASS muy cerca de costa, configurándose por fuera de las 50 millas de costa. Frente de la costa centro y sur de Chile, la salinidad fue menor de 34.6 ups, asociado a

1.3.5. NIVEL DEL MAR

Dentro de las 60 millas frente a la costa, la anomalía del nivel del mar (NM) presentó valores predominantemente, principalmente al sur de los 25°S; sin embargo, núcleos negativos se desarrollaron a mediados del mes y se proyectaron al sur, alcanzando los 048°S para la última semana de diciembre; asimismo, al norte del ecuador estos núcleos fueron más predominantes y se establecieron durante la segunda quincena del mes (Figura 18a). En el litoral el nivel se mantuvo similar durante el mes, aunque incrementando la anomalía negativa entre La Libertad (Ecuador) y Paíta (Perú), y entre Coquimbo (Chile) y Talcahuano (Chile) (Figura 18b).

En las Islas Galápagos, los registros de NM mostraron una variación alrededor de lo normal al norte del archipiélago; mientras que, anomalías sobre lo normal al sur del mismo (Figura 18c).

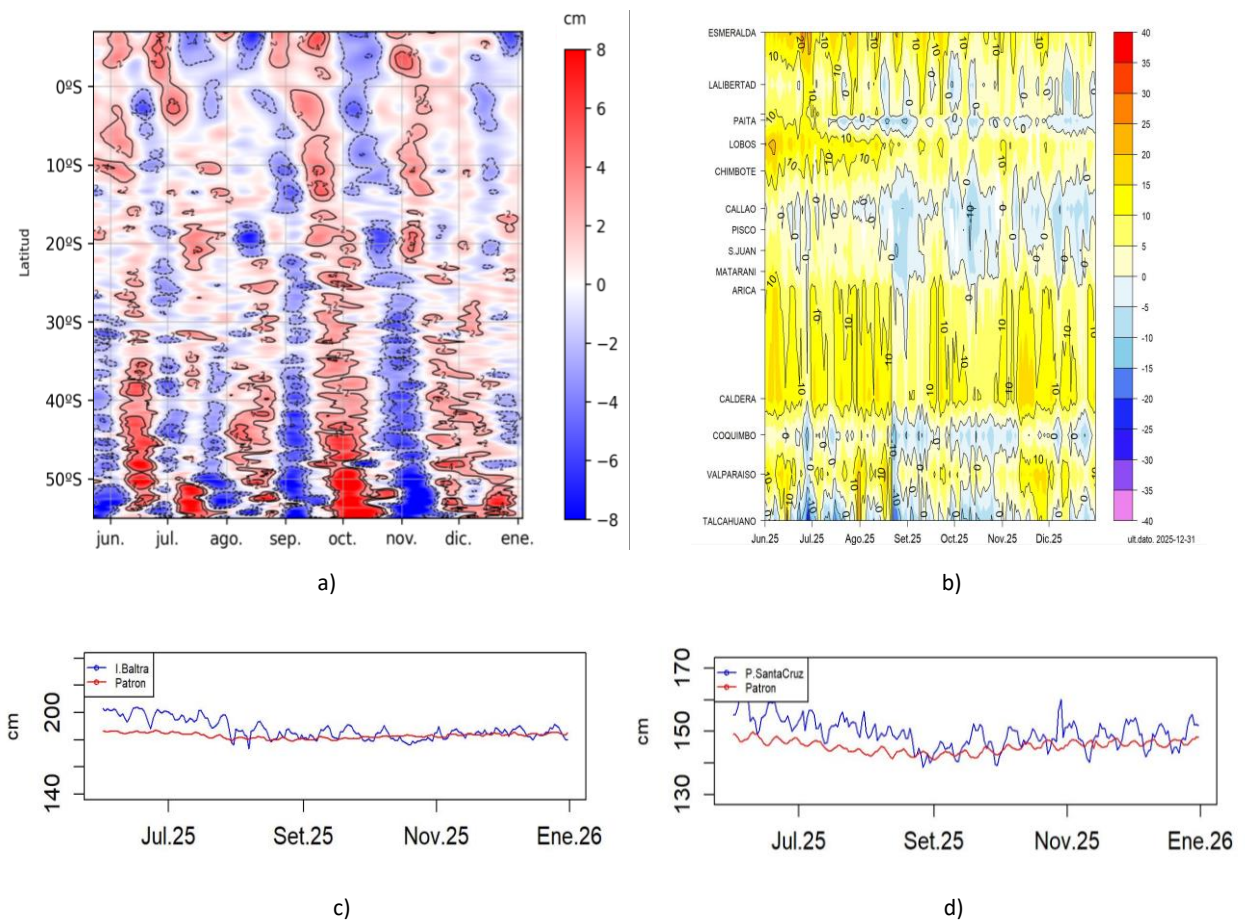


Figura 18. a) Anomalía del nivel del mar promedio de la costa hasta las 60 millas (filtro pasa banda de 10-60 días), b) Anomalía del nivel del mar diario de las estaciones del litoral de la región (Ecuador, Perú y Chile), c) Nivel del mar de Isla Baltra, Galápagos y d) Nivel del mar de Isla Santa Cruz, Galápagos. Periodo de junio 2025 a diciembre 2025. Fuente: INOCAR-Ecuador, DIHIDRONAV-Perú y SHOA-Chile. Satelital: Duacs.

1.3.6. TEMPERATURA DEL AIRE

En la mayoría de estaciones del litoral de Perú, la temperatura del aire se mantuvo igual respecto a noviembre, en el rango de 20°C a 22°C; sin embargo, esto significó anomalías negativas de hasta -2°C. En Chile se observó una tendencia de incremento de temperatura del aire a lo largo de toda la costa respecto al mes anterior, con rangos de 20°C a 10°C, asociados a fuertes anomalías positivas de hasta +2°C; a excepción del norte de Chile donde se presentaron anomalías negativas de hasta -1°C (Figura 19a y 19b).

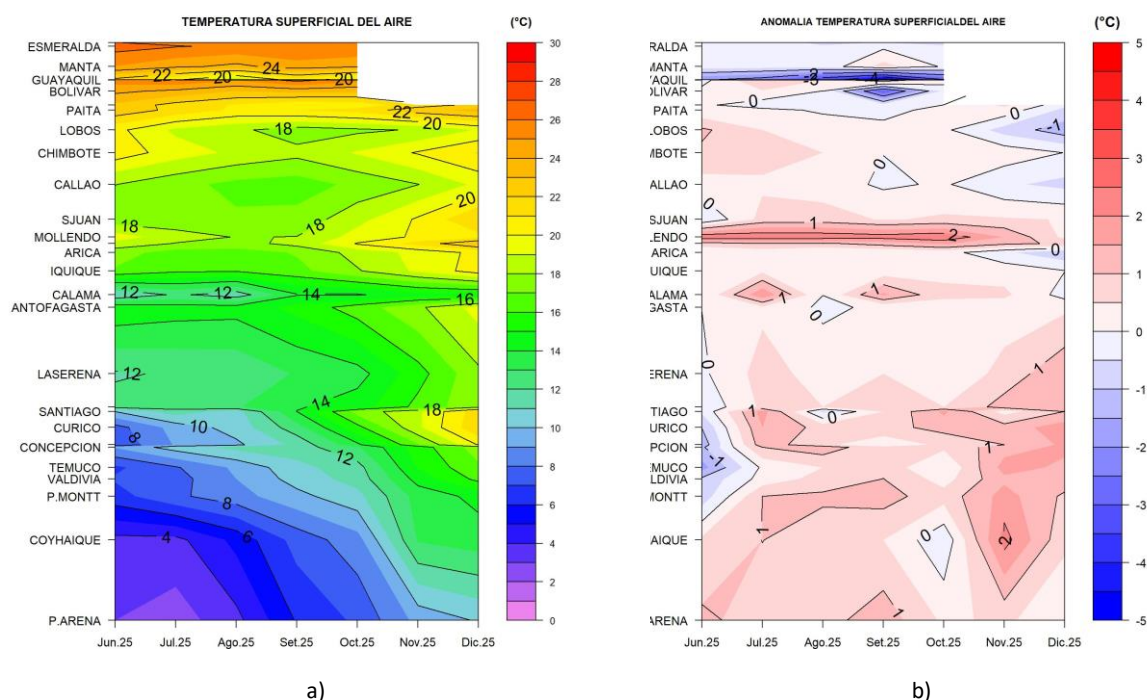


Figura 19. Hovmöller de a) temperatura del aire y b) anomalía de la temperatura del aire en las estaciones en el litoral de Ecuador, Perú y Chile, periodo junio 2025 - diciembre 2025. Climatología 1991-2020. Fuente: INOCAR-Ecuador, DIHIDRONAV-Perú, SHOA-Chile.

II. MODELOS NUMÉRICOS DE PRONÓSTICO CLIMÁTICO

Los modelos de diferentes agencias internacionales, en promedio muestran un escenario de transición de fría a normal en el Pacífico ecuatorial central y oriental para el trimestre enero-febrero-marzo, todavía con anomalías negativas de temperatura en la región central y de menor intensidad en la oriental; asimismo, condición ligeramente cálida desde la costa sur de Perú y el centro de Chile. Para los meses abril-mayo-junio se desarrollaría un escenario cálido en todo Pacífico ecuatorial, sobrepasando la anomalía de +0.5°C al este de los 150° W y con alcance a la costa de Colombia, Ecuador y Perú, siendo positiva frente a Chile, aunque dentro del rango normal (Figura 20a, 20b).

Respecto a la precipitación, para enero 2026 los modelos indican procesos convectivos de sobre normal en Colombia y Ecuador; mientras que, déficit de lluvias en la región ecuatorial, esperando condición normal en Perú y Chile. Para febrero y marzo 2026 se mantendrían precipitaciones sobre lo normal sobre Colombia, principalmente en la costa del Pacífico Colombiano; mientras que, lluvias alrededor de lo normal sobre el resto de la región (Figura 20c, 20d, 20e).

La pluma de NMME para la región Niño 3.4 indica condición límite entre neutra y fría del ENOS en diciembre, esperando se mantenga esta condición para enero 2026, esperando retorne la condición neutra para febrero y perdure al menos hasta mayo, cuando la tendencia al incremento sobrepasaría a condición cálida para junio (Figura 20f).

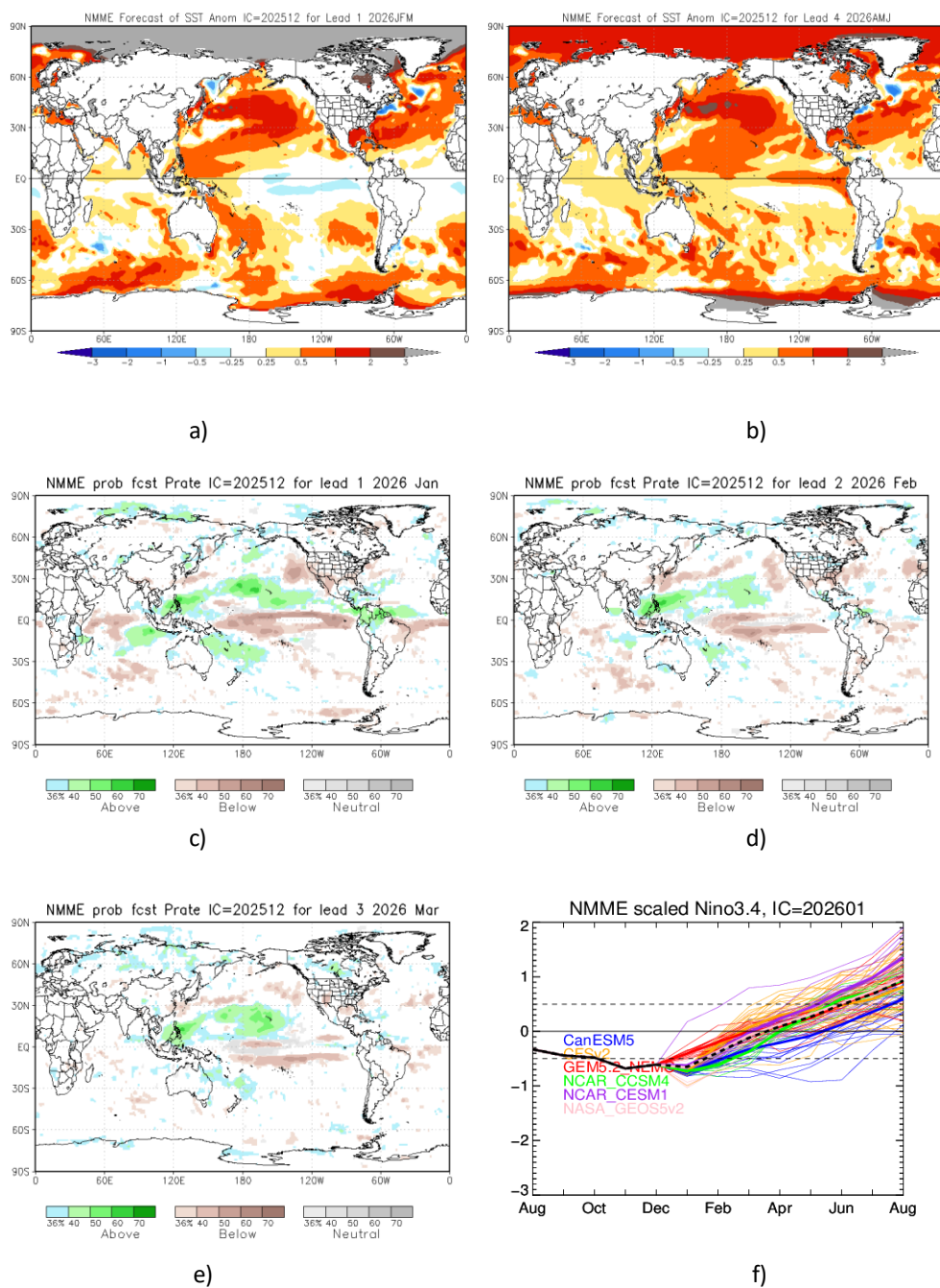


Figura 20. Mapa pronóstico para a) trimestre JFM de ATSM, b) trimestre AMJ de ATSM, c) precipitación de enero 2026, d) precipitación de febrero 2026, e) precipitación de marzo 2026 y f) plumas de modelos del NMME para la región Niño 3.4. Fuente: NMME.

El pronóstico de la Oscilación de Madden-Julian (MJO) para el período comprendido entre comienzos de enero y el 30 de enero de 2026 indica una señal mayormente débil o inactiva, con amplitudes cercanas al centro del diagrama durante gran parte del horizonte de pronóstico (Figura 21). Hacia finales del mes, el conjunto de pronósticos sugiere una leve proyección de la MJO hacia las fases 1 y 8, con señales de activación de baja intensidad.

Para Perú, se esperaría una disminución de precipitaciones en la región centro y sur de la cordillera durante el mes de enero, y condiciones favorables para el incremento de precipitaciones en la región norte a inicios de febrero. Para Chile, este comportamiento podría asociarse a un aumento de la nubosidad, principalmente en la zona centro y norte del país, sin que ello implique, necesariamente, un forzante significativo para eventos de precipitación de gran escala, dado el carácter débil de la señal.

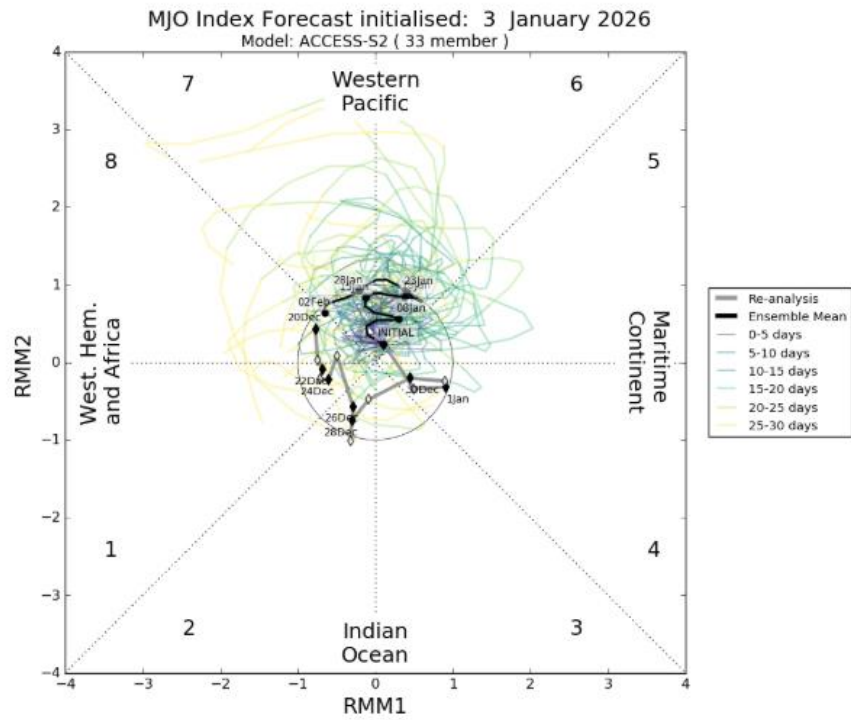


Figura 21. Diagrama de fases de la Oscilación de Madden–Julian (MJO) basado en el índice RMM, inicializado el 3 de enero de 2026. Se muestra el análisis (reanálisis) y el pronóstico por conjuntos hasta 30 días, indicando la evolución prevista de la MJO y su amplitud. Fuente: Pronóstico MJO modelo ACCESS-S2, Bureau of Meteorology (BoM), Australia.

III. PERSPECTIVAS CLIMÁTICAS

Se espera que para los próximos dos meses en el Pacífico central (región Niño 3.4) la temperatura del mar fluctúe alrededor de su valor normal, con anomalías positivas, pero manteniéndose en la fase neutra del ENOS.

Se espera que, en el Pacífico Sudeste la temperatura del mar esté por encima del promedio, de 1 °C a 2°C.

Pronóstico Climático Trimestral (diciembre 2025 – febrero 2026)

3.1. Colombia

El modelo probabilístico del IDEAM sugiere que en enero de 2026 predominarían condiciones cercanas a los promedios climatológicos en gran parte del país, con incrementos leves a moderados en el archipiélago de San Andrés y Providencia, el sur de la región Caribe, sectores de la región Andina, el oriente de la Orinoquía y el sur de la Amazonía, donde se estiman cambios del 10% al 20% en zonas puntuales. Por otro lado, no se esperan variaciones significativas en el norte del Caribe y amplias áreas de la región Pacífica; sin embargo, se identifican déficits en el sur del Chocó, occidente de Nariño, el centro de la Orinoquía y el norte de Vaupés, con reducciones entre 10% y 30%.

Para el trimestre consolidado de enero a marzo de 2026, se prevé un comportamiento variable de la precipitación, con condiciones cercanas a los promedios climatológicos en amplias zonas del país. Se estiman incrementos en la región Andina y sectores de la región Pacífica, mientras que se proyectan déficits en áreas de la región Caribe y la Orinoquía. En el archipiélago de San Andrés y Providencia y la Amazonía se presentarían variaciones leves, cercanas a los promedios climatológicos de referencia.

3.2. Ecuador

En la región costera se espera un incremento de las precipitaciones, con valores alrededor de lo normal en el perfil costero y superiores a lo normal en el interior de la región. Para febrero, esta tendencia se mantendría, con lluvias normales en el litoral y muy superiores a lo normal en el interior, consolidando el pico de la estación lluviosa en esta región.

En la región Interandina, se anticipan precipitaciones dentro del rango normal, aunque algunas zonas del centro podrían registrar valores ligeramente inferiores. Para febrero, con lluvias normales en gran parte de la región y áreas específicas con déficit moderado, especialmente en la zona centro-sur. Por otro lado, en la región Amazónica se prevé un incremento en la intensidad de las lluvias en las estribaciones de cordillera, de normal a superior; mientras que, en la llanura amazónica se esperan precipitaciones alrededor de lo normal o por debajo. En febrero, esta tendencia se refuerza, las estribaciones mantendrán lluvias superiores a lo normal, especialmente en el sur; mientras que, la llanura amazónica de norma a inferior.

3.3. Perú

Las precipitaciones se prevén dentro de lo normal en la costa, sin descartar eventos puntuales de lluvia de moderada intensidad en la costa norte, especialmente durante marzo. En la sierra, se prevén condiciones de lluvia entre normales y superiores, con mayor probabilidad de acumulados superiores en la sierra sur oriental. En la selva, se esperan lluvias superiores a lo normal en el norte, mientras que en el centro y sur los acumulados oscilarían entre normales y superiores.

Las temperaturas máximas se ubicarían entre lo normal y superiores en la región andina, mientras que, en la costa y la Amazonía, prevalecerían valores dentro de lo normal para esta temporada. Mientras que, las temperaturas mínimas se mantendrán dentro de lo normal en la costa, mientras que en la sierra se esperan valores entre normales y superiores. En la selva, predominarían condiciones superiores a lo normal.

3.4. Chile

La precipitación sería de condición mixta Normal / Sobre lo Normal Putre, Colchane, Camiña, Toconce, y entre Cauquenes y Valdivia. Asimismo, condición mixta de Normal / Bajo lo Normal en Puerto Montt, Quellón, Coyhaique, Balmaceda y Punta Arenas. Las ciudades Arica, entre Rodelillo y Santo Domingo, entre Curicó y Talca, Osorno, Futaleufú y Puerto Williams tendrían pronóstico indefinido. En las ciudades de Iquique, entre Calama y Valparaíso, entre Santiago y San Fernando se prevé se mantenga estación seca.

Las temperaturas mínimas serían de Sobre lo Normal entre Putre e Illapel, Valparaíso, Santiago-Pudahuel, Santo Domingo, entre Melipilla y Concepción, entre Puerto Saavedra y Pucón, y Punta Arenas. En cambio, condición Bajo lo Normal en Valdivia, Osorno, Futaleufú, Coyhaique y Puerto Williams. Se prevé condición mixta de Normal / Sobre lo Normal en La Cruz y Puerto Natales. En Quillota, Rodelillo, Santiago (Quinta Normal), Pirque, Diguillín, Temuco, Puerto Montt y Balmaceda se prevé categoría indefinida.

Las temperaturas máximas serían de Sobre lo Normal en La Serena, Ovalle, La Cruz, Valparaíso, Santiago- Pudahuel, Santiago- Quinta Normal, Pirque, entre Curicó y Puerto Aysén, y Puerto Natales. En contraste, condición Bajo lo Normal en Coihaique alto. En Putre, Illapel, Quillota, Rodelillo, Santo Domingo, Melipilla y Puerto Williams el pronóstico es indefinido. Condición doble Normal / Sobre lo Normal en Iquique, Copiapó, Pucón y Punta Arenas; mientras que, Normal / Bajo lo Normal en Balmaceda.

INFORMACIÓN SOBRE EL BOLETÍN DE ALERTA CLIMÁTICO DE LA CPPS (BAC)

El Boletín de Alerta Climático (BAC) es una publicación mensual de la CPPS en coordinación con instituciones gubernamentales de Colombia, Ecuador, Perú y Chile, donde se analizan las condiciones oceánicas y atmosféricas de la región del Pacífico Sudeste dentro del Estudio Regional del Fenómeno El Niño (ERFEN). La versión digital del BAC está disponible a partir del 10 de cada mes en las páginas web de la CPPS: <http://www.cpps-int.org>

Las sugerencias, comentarios o información científica serán bienvenidas al correo electrónico: dircient@cpps-int.org, o mediante comunicación escrita dirigida a la sede de la Comisión Permanente del Pacífico Sur, Secretaría General, Av. Francisco de Orellana y Miguel H. Alcívar, Edificio "Las Cámaras", Torre B, Planta baja; 593-4-3714390; sgeneral@cpps-int.org; Guayaquil, Ecuador.

Los correos de las instituciones aportantes en la elaboración del presente Boletín, se listan a continuación:

INSTITUCIÓN	Dirección electrónica
DIMAR/CCCP-Centro de Investigaciones Oceanográficas e Hidrográficas del Pacífico (Colombia).	c CCP@dimar.mil.co
IDEAM -Instituto de Hidrología, Meteorología y Estudios Ambientales (Colombia).	meteorologia@ideam.gov.co
INOCAR - Instituto Oceanográfico de la Armada (Ecuador). INAMHI- (Instituto Nacional de Meteorología e Hidrología)	inocar@inocar.mil.ec agroclima@inamhi.gob.ec
DIHIDRONAV - Dirección de Hidrografía y Navegación (Perú). SENAMHI – Servicio Nacional de Meteorología e Hidrología del Perú (Perú)	oceanografia@dhn.mil.pe clima@senamhi.gob.pe
SHOA –Servicio Hidrográfico y Oceanográfico de la Armada (Chile).	shoa@shoa.cl
DMC - Dirección de Meteorología (Chile).	metapli@meteochile.cl

Cite este boletín como: Comité Regional ERFEN, 2025 BOLETÍN de Alerta Climática; BAC Nro. 423 Comisión Permanente del Pacífico Sur. <http://cpps-int.org/index.php/nodo-de-conocimiento/nodo-oceano/bac>

PARTICIPARON EN LA ELABORACIÓN DE ESTE BOLETÍN

COLOMBIA

CCCP: Sra. Laura Marcela Vásquez López
Sr. Joao Camilo Quijano Ferrín

IDEAM: Sra. Jeimmy Yanelly Melo Franco
Sr. José Franklyn Ruiz Murcia

ECUADOR

INOCAR: Sra. Leonor Vera San Martín
Sr. Jorge Nath Nieto
Srta. Jacqueline Rivas
Sra. Sandra Torres
Sr. David Galarza
Sr. Alejandro Erazo

PERÚ

DIHIDRONAV: Sra. Rina Gabriel Valverde
Sr. Alfredo Alvarado
Sra. Rosario Deza Cueva

Colaboradores: Sr. Renzo Adrianzén Pereyra
Sr. Roberto Chauca Hoyos

CHILE

SHOA: Sr. Julio Castro Barraza
Sra. Mónica Alvarado N.
Sra. Carmina González H.

DMC: Sra. Claudia Cruz
Sra. Elizabeth Lobos
Sra. Catalina Medina

EDICIÓN REGIONAL

Dirección de Hidrografía y Navegación – PERÚ Sr. Enrique Varea Loayza
Sra. Rina Gabriel Valverde
Sr. Renzo Adrianzén Pereyra
Sra. Rosario Deza Cueva

COORDINACIÓN EDICIÓN GENERAL REGIONAL

Embajadora María Elvira Velásquez Rivas Plata
Secretaría General de la CPPS

Sr. Edwin Pinto Uscocovich
Director de Asuntos Científicos y Recursos Pesqueros de la CPPS

Sra. Miriam Lucero Muñoz
Asesora Técnica de la Dirección de Asuntos Científicos y Recursos Pesqueros de la CPPS